

Evaluation of sediment delivery ratio estimation methods in Khamsan Representative-Paired Watershed

Nasrian Azami¹, Abdulvahed Khaledi Darvishan^{2*} and Leila Gholami³

¹ Former Master Student, Department of Watershed Management Engineering, Faculty of Natural Resources, Tarbiat Modares University, Noor, Iran

² Associate professor, Department of Watershed Management Engineering, Faculty of Natural Resources, Tarbiat Modares University, Noor, Iran

³ Associate professor, Department of Watershed Management Engineering, Faculty of Natural Resources, Sari Agricultural Sciences and Natural Resources University, Sari, Iran

Received: 19 February 2024

Accepted: 11 May 2024

Extended abstract

Introduction

Today, soil erosion in particular and soil degradation in general as a result of human activities have been raised as a social problem, and the role of the human factor in the emergence and acceleration of the soil degradation process has been clarified in many fields. Obtaining accurate statistics and information about soil erosion and sediment yield in the watersheds is necessary for the implementation of soil conservation programs and methods for determining the resistance to soil erosion and reducing sediment yield. Due to the lack of data about soil erosion and sediment yield in many watersheds of Iran, the use of appropriate empirical methods is inevitable to erosion estimation, sediment yield and especially sediment delivery ratio.

Martial and methods

For this purpose, in the present study, empirical models for estimation of the sediment delivery ratio based on easy-to-measure variables and three models of SATEEC, InVEST and WaTEM/SEDEM were used in the Khamsan representative-paired watershed, western Iran. The WaTEM module of the WaTEM/SEDEM model is based on the RUSLE model for estimating soil erosion, and in the SEDEM module is based on the performance of effective physical factors in the sediment transport equation. In many sources, the ¹³⁷Cs method is mentioned as the only available and reliable method for measuring the components of the sediment budget, including total erosion, total sedimentation, net erosion (sediment yield) and sediment delivery ratio, especially at the hillslope and sub-watershed scales. To evaluation of the used models, the results of calculating the sediment delivery ratio using the ¹³⁷Cs method obtained from previous researches were used, which are 25.61% and 58.94% for the entire watershed and the average of 15 sub-watersheds, respectively, and its accuracy is based on the observed sediment data at the outlet of the watershed has been confirmed.

Results and discussion

Among the studied sediment delivery ratio models, Renfro and Waldo (1983), Williams and Brendt (1972), Roehl (1962) considering one hour excess precipitation, Walling (1983), Ferro (1995), Vanoni (1975) and USDA (1972) provided the closest estimates ($\pm 10\%$) to the ¹³⁷Cs method for the whole watershed scale and the Renfro (1975), USDA (1972), USDA-SCS (1979), SATEEC and Roehl (1962) considering one hour excess precipitation for the sub-watershed scale provided the closest estimates ($\pm 10\%$) to the ¹³⁷Cs method for the sub-watershed scale and were selected as suitable sediment delivery ratio models for Khamsan representative-paired watershed. Also, these models can be used to estimate the sediment delivery ratio in watersheds similar to Khamsan representative-paired watershed.

Conclusion

In the sub-watersheds scale, the equations estimations based on easy-to-measure variables except the Roehl (1962) method - excess rainfall of 1.0 h was significantly lower than the SATEEC model, on the other hand, the estimations of all the methods except the Roehl (1962) method - excess rainfall of 0.1 h was significantly higher than WaTEM/SEDEM and InVEST models. This issue emphasizes the importance of considering excess precipitation conditions to estimation of the sediment delivery ratio in the presented equations by Roehl. Also, at the scale of the whole watershed, the estimations of the equations based on easy-to-measure

* Corresponding author: a.khaledi@modares.ac.ir

variables, except for the Mutchler and Bowie (1975) method, were lower than the results of the SATEEC model. The great difference of the investigated methods performance in the two scales of the sub-watershed and the whole watershed is due to the undeniable effect of the middle plain of the Khamsan watershed in the drastic reduction of the sediment transportation from the sub-watersheds to the outlet of the watershed.

Keywords: ^{137}Cs , InVEST Model, RUSLE Model, SATEEC Model, Soil Erosion

Cite this article: Azami, N., Khaledi Darvishan, A., Gholami, L., 2024. Evaluation of sediment delivery ratio estimation methods in Khamsan Representative-Paired Watershed. *Watershed Engineering and Management* 16(3), 394-414.

© 2024, The Author(s). Published by Soil Conservation and Watershed Management Research Institute (SCWMRI). This is an open-access article distributed under the terms of the Creative Commons Attribution License (<http://creativecommons.org/licenses/by/4.0>)



ارزیابی روش‌های برآورد نسبت تحويل رسوب در حوزه آبخیز معرف-زوجی خامسان

نسرين اعظمی^۱، عبدالواحد خالدی درویشان^{۲*} و لیلا غلامی^۳

¹ دانش آموخته کارشناسی ارشد، گروه مهندسی آبخیزداری، دانشکده منابع طبیعی، دانشگاه تربیت مدرس، نور، ایران

^۲ دانشیار، گروه مهندسی، آبخیزداری، دانشکده منابع طبیعی، دانشگاه تربیت مدرس، نور، ایران

^۳ دانشیار، گروه مهندسی آبخیزداری، دانشکده منابع طبیعی، دانشگاه علوم کشاورزی و منابع طبیعی، ساری، ساری، ایران

تاریخ پذیرش: ۱۴۰۳/۰۲/۲۲ تاریخ دریافت: ۱۴۰۲/۱۱/۳۰

چکیده مبسوط

مقدمة

فرسایش خاک، بهطور خاص و تخریب خاک، بهطور عام در نتیجه فعالیت انسان، امروزه به عنوان یک معضل اجتماعی مطرح بوده و نقش عامل انسانی در پیدایش و تسريع روند تخریب خاک در بسیاری از مناطق روشن شده است. دستیابی به آمار و اطلاعات دقیق در مورد میزان فرسایش خاک و رسوب در حوزه‌های آبخیز به منظور اجرای برنامه‌های حفاظت خاک و تعیین روش‌های مبارزه با فرسایش خاک و کاهش تولید رسوب ضروری است. بهدلیل کمبود آمار در زمینه فرسایش خاک و تولید رسوب در بسیاری از حوزه‌های آبخیز کشور، به کارگیری روش‌های تجربی مناسب برای برآورد فرسایش، رسوب‌دهی و بهبود نسبت تحویل رسوب اجتناب‌ناپذیر است.

مواد و روش

بدین منظور در پژوهش حاضر از مدل‌های برآورد نسبت تحویل رسوب شامل مدل‌های تجربی مبتنی بر متغیرهای زوایدگی و سه مدل InVEST، SATEEC و WaTEM/SEDEM استفاده شد. مدل WaTEM/SEDEM برای برآورد فرسایش خاک مبتنی بر مدل RUSLE و در بخش SEDEM مبتنی بر عملکرد عوامل فیزیکی مؤثر در رابطه انتقال رسوب است. در بسیاری از منابع از روش سزیم-۱۳۷ به عنوان تنها روش موجود و قابل اعتماد برای اندازه‌گیری اجزای بودجه رسوب شامل فرسایش کل، رسوب گذاری کل، فرسایش خالص (رسوب‌دهی) و نسبت تحویل رسوب بهویژه در مقیاس دامنه و زیرحوزه آبخیز یاد شده است. برای ارزیابی مدل‌های مورداستفاده، از نتایج محاسبه نسبت تحویل رسوب در روش سزیم-۱۳۷ حاصل پژوهش‌های قبلی استفاده شد که برای کل حوزه آبخیز و متوسط ۱۵ زیرحوزه آبخیز به ترتیب برابر $25/6$ و $58/94$ درصد است و صحت آن با استفاده از داده‌های رسوب مشاهداتی در خروجی حوزه آبخیز مورد تأیید قرار گرفته است.

نتائج و بحث

(1972)، در مقیاس کل حوزه آبخیز و مدل‌های SATEEC (1979)، USDA-SCS (1972) and Roehl (1962)، با بارش مازاد یک ساعت در مقیاس زیرحوزه آبخیز نزدیکترین برآوردها را به روش سزیم-۱۳۷ با در نظر گرفتن خطای ± 10 درصد داشتند و به عنوان مدل‌های مناسب برای برآورد نسبت تحويل رسوب در حوزه آبخیز معرف-زوجی خامسان انتخاب شدند. همچنین، این مدل‌ها می‌توانند برای برآورد نسبت تحويل رسوب در حوزه‌های آبخیز مشابه با حوزه آبخیز معرف-زوجی خامسان نیز مورد استفاده قرار داده شوند.

نتیجه‌گیری

در مقیاس زیرحوزه آبخیزها برآوردهای معادلات مبتنی بر متغیرهای زودیافت جز روش (1962)-Barsh Mazarad Roehl ساعت به طور معنی‌داری کمتر از مدل SATEEC بوده، از طرفی برآوردهای تمام روش‌های مذکور به جز روش InVEST (1962) Barsh Mazarad ۰/۱ ساعت به طور معنی‌داری بیشتر از مدل WaTEM/SEDEM و Roehl بود. این موضوع بر اهمیت در نظر گرفتن شرایط بارش مازاد برای برآورد نسبت تحويل رسوب در معادلات ارائه شده توسط Roehl تأکید دارد. همچنین، در مقیاس کل آبخیز نیز برآوردهای معادلات مبتنی بر متغیرهای زودیافت به جز روش (1975)-Mutchler and Bowie، کمتر از نتایج مدل SATEEC بود. اختلاف زیاد عملکرد روش‌های مورد بررسی در دو مقیاس زیرحوزه آبخیز و کل حوزه آبخیز ناشی از اثر انکارناپذیر دشت میانی حوزه آبخیز خامسان در کاهش شدید انتقال رسوب زیرحوزه آبخیزها تا خروجی کل حوزه آبخیز بوده است.

واژه‌های کلیدی: سزیم-۱۳۷، فرسایش خاک، مدل InVEST، مدل RUSLE، مدل SATEEC

آشکار و پنهان محیط زیستی و اجتماعی، به سلطان زمین شهرت یافته و یکی از فرایندهای پیچیده و خطرساز محیطی است.

دستیابی به آمار و اطلاعات دقیق در مورد میزان فرسایش خاک و رسوب در حوزه‌های آبخیز به منظور اجرای برنامه‌های حفاظت خاک و تعیین روش‌های مبارزه با فرسایش خاک و کاهش تولید رسوب ضروری است (Hagos, 2004).

به عبارت دیگر لازم است عوامل مؤثر در فرسایش و تولید رسوب شناسایی شوند تا در انتخاب راهکارهای مناسب جهت کنترل فرسایش و حفظ منابع طبیعی بتوان تصمیم مناسبی اتخاذ نمود. لذا، تحلیل و برآورد میزان فرسایش خاک و رسوب و ارائه راهکارهای مدیریتی با توجه به روند فراینده فرسایش خاک، با استفاده از ابزار و مدل‌های موجود امری ضروری به نظر می‌رسد.

عامل تجربی که در تبدیل فرسایش و رسوب به یکدیگر مورد استفاده قرار می‌گیرد، نسبت تحويل

مقدمه

فرسایش خاک، به طور خاص و تخریب خاک به طور عام، در نتیجه فعالیت انسان، امروزه به عنوان یک معضل اجتماعی مطرح بوده و نقش عامل انسانی در پیدایش و تسريع روند تخریب خاک در بسیاری از مناطق روشن شده است (Wilkinson and McElroy, 2007; Dreibrodt et al., 2010; Giguet-Covex et al., 2011). اثرات ناشی از این دخالت‌ها نه تنها در مکان وقوع بلکه در خارج از محل رویداد نیز به صورت انشابت رسوبات روی اراضی کشاورزی مرغوب، مراتع و کانال‌های آبیاری بیش از هر زمان دیگری مشهود و نمایان است (Hadley and Mizuyama, 1993; Lai et al., 1998; Javadi et al., 2017).

تخریب خاک در اراضی کشاورزی و مرتعی سبب کاهش حاصلخیزی خاک، کاهش تولید محصول و Semgalawee and Folmer, (2000) کمبود مواد غذایی می‌شود (Tenge et al., 2007; 2000) و با ادامه یافتن تخریب منجر به فرسایش فیزیکی و ظاهری خاک می‌شود. فرسایش خاک فراینده است که طی آن خاک به وسیله آب یا باد از بستر اولیه خود جدا می‌شود (Rahman et al., 2009). این فرایند به دلیل داشتن اثرات چندجانبه

Lu et al., (2003) نسبت تحویل رسوب را بر اساس اصول قواعد فیزیکی (شبیه‌سازی خطی) دو منبع ذخیره رسوب در حوضه (ذخیره دامنه‌ای و ذخیره شبکه کاتالی) مدل کردند و مدل ساده‌ای برای حمل رسوب ارائه دادند. Lu et al., (2006) از SDR برای تصحیح اثر کاهش بار رسوبی در خروجی استفاده کردند. نتایج نشان داد که بار رسوبی حوضه‌ها اغلب کمتر از فرسایش اندازه‌گیری شده در کرت‌های دامنه‌ای است. به عبارت دیگر مدل‌های فرسایش خاک از قبیل USLE شدت فرسایش خاک ناچالص در کرت‌های بیشتر از شدت‌های اندازه‌گیری شده در خروجی حوضه‌ها تخمین می‌زنند. Ramos-

Scharron and MacDonald (2007) و در امریکا به این نتیجه رسیدند که بار رسوبی تخمین زده شده با ضرب SDR در فرسایش از حوزه آبخیزی به حوزه آبخیز دیگر تغییر می‌کند. طبق نتایج آنها مقدار بار رسوبی تخمین زده شده برای حوزه آبخیزهایی که پتانسیل تحویل رسوب متوسط دارند، نسبت به مقدار SDR حساسیت بالایی نشان می‌دهند.

بررسی منابع مختلف در موضوع نسبت تحویل رسوب و روش‌های برآورد آن نشان می‌دهد که این نسبت به طور کلی به صورت مستقیم و غیرمستقیم برآورد می‌شود (USDA-SCS, 1981). در روش مستقیم، از نسبت داده‌های اندازه‌گیری شده رسوب و فرسایش خاک اندازه‌گیری شده در کرت‌های مستقر در منطقه استفاده می‌شود.

Sadeghi et al., به عنوان مثال، در این زمینه، (2008) با توجه به عدم وجود داده‌های دقیق رسوب معلق و ضرورت دستیابی به اطلاعات قابل اعتماد مبادرت به برداشت نمونه از ایستگاه چهل‌گزی و تهییه رسوب‌نگار برای تعداد ۱۱ رگبار کردند. اما برای مقدار فرسایش خاک، از فرسایش خاک بدست آمده در کرت های مستقر در منطقه طی پژوهش Shahoei et al., (1992) استفاده نمودند.

با توجه به تفاوت فرسایندگی به‌وقوع پیوسته در منطقه در زمان اندازه‌گیری فرسایش و ضرورت تطابق مقادیر مذکور با شرایط حاکم بر رگبارهای مورد مطالعه،

رسوب^۱ است. بررسی‌ها نشان داده که نسبت تحویل رسوب، یکی از معیارهای مهم مورداستفاده در تبدیل مقدار فرسایش خاک و تولید رسوب به یکدیگر بوده که در بسیاری از موارد زمینه‌ساز استفاده بهینه از منابع مختلف است (USDA-SCS, 1981). نسبت بار رسوب اندازه‌گیری شده در خروجی به مقدار کل رسوب جدا شده از تمام سطح حوزه آبخیز (فرسایش کل یا ناچالص) در طی یک دوره مشابه زمانی نسبت تحویل رسوب اطلاق می‌شود. نسبت تحویل رسوب، یک عامل مقیاسی است که میزان فراهمی رسوب را در مقیاس مکانی بازگو می‌کند (Lu et al., 2006).

روش‌های قدیمی برآورد SDR اغلب به وجود داده‌های ثبت شده طولانی مدت از بار رسوبی و در ایستگاه‌های اندازه‌گیری در آبراهه‌ها و همچنین، وجود یک اندازه‌گیری یا تخمین معقول از شدت فرسایش در دامنه وابسته هستند (Lu et al., 2006; Ferro et al., 1995; Arnold et al., 1996; and Minacapillia, 1995; Kinnell, 2006) به کار برد و برخی دیگر، مقدار متوسط از نسبت تحویل رسوب را می‌توان برای یک رگبار (Ferro and Porto, 2000; Fernandez et al., 2003; Gubin et al., 2005) را ارائه دهند.

تحقیقات و بررسی‌های گسترده‌ای در زمینه عوامل مؤثر و برآورد نسبت تحویل رسوب صورت گرفته است که نهایتاً منجر به ارائه مدل‌های جدیدی برای برآورد این عامل شده است. Glymph (1954) برای اولین بار از اصطلاح "شدت تحویل رسوب" برای بیان نسبت بین بار رسوب سالانه حوضه به فرسایش ناچالص سالانه آن استفاده نمود.

Haan et al., (1994) اولین بار در امریکا تخمین تقریبی نسبت تحویل رسوب را به کمک مساحت به شکل منحنی‌هایی ارائه دادند. تخمین فرسایش در این منحنی‌ها بر مبنای مدل USLE استوار بود. Ferro and Porto (2000), Gubin et al., (2003) و Fernandez et al., (2005) مدل توزیعی تحویل رسوب^۲ به همراه مدل RUSLE را برای برآورد میزان رسوب سالانه به کار برdenد.

¹ Sediment Delivery Ratio (SDR)

² Sediment Delivery Distributed Model (SEDD)

تحویل رسوب با استفاده از یک مدل بهنهایی و یا مدل‌های مبتنی بر یک عامل، در مقیاس حوزه آبخیز میسر نیست. هرچند تاکنون مدل‌های متعددی بر اساس عواملی مانند شیب، مساحت و داده‌های هیدرولوژیک برای برآورد نسبت تحویل رسوب ابداع شده است، اما چنین مدل‌هایی نیز معایب و محاسن خاص خود را دارند (Lu et al., 2004).

بنابراین، در هر حوزه آبخیز ضروری است که روش مناسب برآورد نسبت تحویل رسوب انتخاب شود. بهویژه در حوزه‌های آبخیز معرف-زوجی که هم معرف بخش وسیعی از کشور هستند و هم با هدف مطالعه دقیق فرایندهای هیدرولوژیک از جمله فرسایش و رسوب و سپس تعییم آن به سطح بزرگتری از کشور طراحی و تجهیز شده‌اند، انجام این پژوهش و تعیین نسبت تحویل رسوب با خطای کمتر در این آبخیزها ضروری است. بنابراین، انجام پژوهشی برای برآورد نسبت تحویل رسوب با روش‌های مختلف و مقایسه آنها و در نهایت ارزیابی نتایج با روش سزیم-۱۳۷ بهویژه در یک حوزه آبخیز معرف برای امکان استفاده نتایج در بخش وسیع‌تری از کشور از ضروریات است، کمتر موردنظر قرار گرفته است. پژوهش حاضر با توجه به موارد مطرح شده، برای دستیابی به هدف ارزیابی مدل‌های تجربی مبتنی بر متغیرهای زودیافت و مدل شاخص نسبت تحویل رسوب InVEST و SATEEC^۱ برآورد نسبت تحویل رسوب در حوزه آبخیز معرف-زوجی خامسان برنامه‌ریزی شد.

جمع‌بندی بررسی پژوهش‌ها نشان داد، روش‌های مورداستفاده در پژوهش حاضر در بسیاری از حوزه‌های آبخیز مطالعاتی در کشورهای مختلف مورداستفاده قرار گرفته و کلایی برخی از این روش‌ها نیز مورد تأیید قرار گرفته است. از آنجایی که بسیاری از روش‌های مذکور ساده بوده و از متغیرهای زودیافت استفاده می‌کنند، بنابراین، ارزیابی کارایی این روش‌ها در حوزه‌های آبخیز معرف-زوجی کشور که معرف بخش وسیعی از کشور هستند، بسیار ضروری و هدف اصلی پژوهش حاضر است.

نسبت بین فرسایش رگبار برآورده مدل USLE و مقادیر مشاهدهای فرسایش طی پژوهش مذبور بررسی شد. از طرفی، مقایسه‌ای لازم بین مقادیر مشاهدهای فرسایش خاک در کرت‌ها با تخمین‌های حاصل از مدل USLE در شرایط بسیار مشابه پوشش گیاهی و فرسایش‌پذیری با شرایط حاکم بر رگبارهای موردمطالعه نیز برای دستیابی به مقدار صحیح فرسایش خاک در بالادست حوضه با استفاده از مدل USLE توسط ایشان انجام گرفت. روش غیرمستقیم نیز از نسبت رسوب اندازه‌گیری شده در خروجی به فرسایش برآورد شده در سطح (روش نیمه محاسباتی) بهدست می‌آید.

در همین راستا و بهمنظور برآورد مقدار نسبت تحویل رسوب در مناطق مختلف ایران و جهان مطالعات گسترده‌ای با استفاده از مدل‌های مختلف از جمله مدل‌های تجربی مبتنی بر متغیرهای زودیافت Ferro and Haan et al., 1994; Glymph, 1954) Kinsey- Fernandez et al., 2003; Porto, 2000 Mutua Lu et al., 2003; Henderson et al., 2003 Lu et al., Gubin et al., 2006; and Klik, 2004 Ramos-Scharron and Kinnell, 2006; 2006 Vigiak Sadeghi et al., 2008; MacDonald, 2007 Nasri Asadi Nalivan et al., 2013; et al., 2012 Sanchez et al., Wu et al., 2018; and Najafi, 2015 Aneseyee et Cislaghi and Bischetti, 2019; 2018 (Kaffas et al., 2021; Batista et al., 2021; et al., 2020 مدل Hamel et al., 2015, 2016) InVEST^۱ و مدل Park et al., 2010; Lim et al., 2005) SATEEC^۲ (Damian et al., 2014) صورت گرفته است. بهدلیل کمبود نتایج برآورد یا اندازه‌گیری دقیق نسبت تحویل رسوب در بسیاری از حوزه‌های آبخیز در اغلب کشورهای مشاهده می‌شود که بهدلیل پیچیده بودن میزان تحویل رسوب، روش‌های تعیین نسبت تحویل رسوب، مبتنی بر داده‌های محدود قابل اندازه‌گیری، پایه‌گذاری شده‌اند. بهطوری‌که با استفاده از چنین مدل‌هایی نیز اغلب برآورد دقیق و قابل اطمینان از نسبت

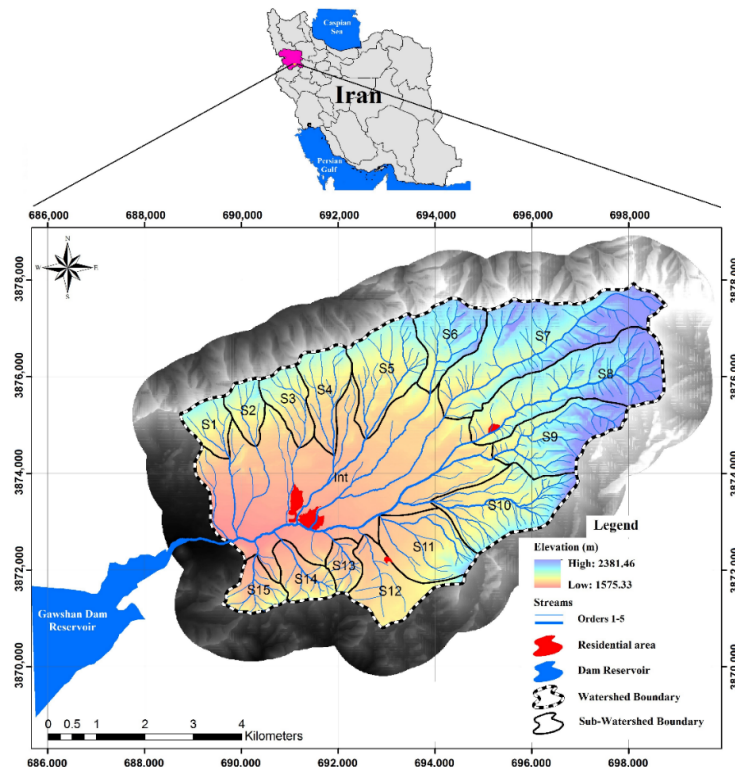
^۱ Integrated Valuation of Ecosystem Services and Tradeoff

^۲ Sediment Assessment Tool for Effective Erosion Control (SATEEC)

آبخیز ۴۳۳۶/۲۲ هکتار، محیط ۲۹/۰۷۸ کیلومتر و تراکم زهکشی ۳/۳ کیلومتر بر کیلومترمربع است و حداقل و حداقل ارتفاع در آن به ترتیب ۲۳۸۵ و ۱۵۷۶ متر از سطح دریا است (Sedighi et al., 2020).

مواد و روش‌ها

منطقه مورد مطالعه: حوزه آبخیز معروف-زوجی خامسان در استان کردستان، یکی از زیرحوزه‌های آبخیز رودخانه گاورود است که در ۲۵ کیلومتری شمال شرقی کامیاران واقع شده است (شکل ۱). مساحت این حوزه



شکل ۱- موقعیت جغرافیایی حوزه آبخیز معروف-زوجی خامسان در استان کردستان و ایران (Sedighi et al., 2022)

Fig. 1. Geographic location of Khamsan representative-paired watershed in Kurdistan Province and Iran

روش‌های برآورد نسبت تحویل رسوب: به منظور ارزیابی روش‌های برآورد نسبت تحویل رسوب، از مدل‌های تجربی مبتنی بر متغیرهای زودیافت و مدل شاخص نسبت تحویل رسوب سرویس جنگل امریکا، مدل‌های SATTEEC و InVEST و محاسبه نسبت تحویل رسوب با استفاده از مدل‌های تجربی مبتنی بر متغیرهای زودیافت به مقادیر بار رسوبی تولید شده از یک حوزه آبخیز نیاز است. از آنجایی که اندازه‌گیری نسبت تحویل رسوب امکان‌پذیر نیست، بنابراین در عمل از مدل‌های تجربی مبتنی بر متغیرهای زودیافت مانند مساحت (A) به کیلومترمربع و مایل مربع، نسبت اختلاف ارتفاع (R) به طول آبراهه اصلی (L)، شیب آبراهه اصلی (SLP)، شماره منحنی (CN) استفاده می‌شود.

پوشش گیاهی مراتع منطقه، به صورت پراکنده و بعض‌اً متراکم گونه‌های گیاهی از خانواده گرامینه، گون، کنگره، شفاقتیق و غیره به چشم می‌خورد. همچنین، درختانی مثل زردآلو، بادام، هلوه، مو، گلابی، زالزالک، گردو، سیب نیز علاوه بر کشت در کاربری باغ، به صورت پراکنده در بخش‌های کم ارتفاع منطقه موجود است. اراضی زراعی دیم نیز از نظر وسعت دومین کاربری اراضی بعد از مراتع است. تنوع واحدهای ژئومورفولوژی حوزه آبخیز خامسان کم و محدود است. رخسارهایی از قبیل دامنه منظم، برون‌زدگی سنگی و دامنه پوشیده از واریزه به چشم می‌خورد. واحد مخروط‌افکنی دارای شیب متوسط ۶/۶ درصد و در حد فاصل تپه‌ماهور و نقاط کم ارتفاع واقع شده است.

دیگر افزونه‌های سامانه اطلاعات جغرافیایی برای کار با مدل ندارد (Damian et al., 2014). این مدل تولید رسوبر را که از حوزه آبخیز به سمت خروجی حوزه آبخیز حرکت می‌کند، تخمین می‌زند که مقدار آن معمولاً بین صفر و یک است (Park et al., 2010). مدل تحويل رسوبر InVEST برای هدررفت خاک را با استفاده از مدل RUSLE برای هر پیکسل محاسبه می‌کند.

مدل‌های تجربی مبتنی بر متغیرهای زودیافت: مدل‌های تجربی مبتنی بر متغیرهای زودیافت در جدول (۱) ارائه شده است.

ابزار موجود برای برآورد نسبت تحويل رسوبر در روش‌های ترسیمی نمودارهای ترسیم شده حاصل از پژوهش‌ها و مطالعات گسترده پژوهشگران بسیاری بوده که نتایج خود را در قالب نمودارهایی ارائه نموده و با استفاده از آنها می‌توان میزان نسبت تحويل رسوبر را برآورد نمود. در بیشتر این نمودارها عامل سطح حوزه آبخیز به عنوان متغیر موردنیاز برای محاسبه نسبت تحويل رسوبر به کار گرفته شده است. SATEEC نیز یکی دیگر از مدل‌هایی است که به منظور برآورد SDR یکی دیگر از مدل‌هایی در نقاط مختلف شبکه زهکشی یک حوزه رسوبردهی در این نسبت متفاوت است. تمام مراحل آبخیز طراحی شده و به عنوان یک افزونه در نرم‌افزار ArcView قابل نصب و استفاده است. تمام مراحل به طور خودکار صورت می‌گیرد و نیازی به استفاده از

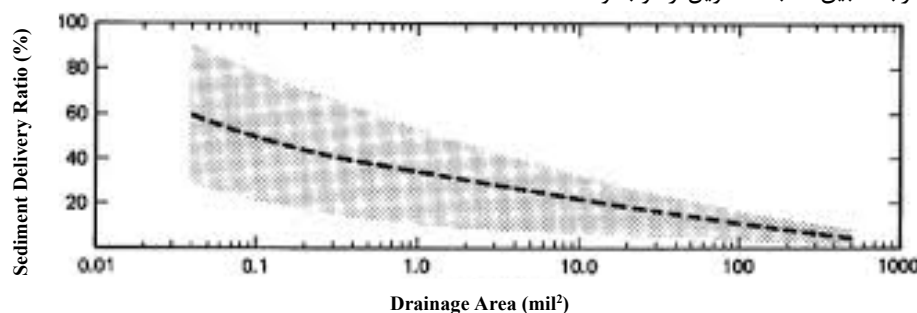
جدول ۱- مدل‌های تجربی مبتنی بر متغیرهای زودیافت برای برآورد نسبت تحويل رسوبر

Table 1. Empirical models based on easy-to-measure sediment delivery ration

Researcher	Equation	Description
Maner (1958)	$\text{Log}(SDR) = 1.8768 - 0.41191 \text{ Log}(10A)$	A: Watershed area (mil^2)
Williams and Brendt (1972)	$SDR = 0.0627 \text{ SLP}^{0.403}$	SLP: Main stream slope (%)
USDA (1979)	$SDR = 0.5656 \text{ AREA}^{-0.11}$	A: Watershed area (km^2)
Renfro (1975)	$\text{Log}(SDR) = 1/7935 - 0/41191 \log A$	A: Watershed area (km^2)
Renfro and Waldo (1983)	$\text{Log}(SDR) = 0.294259 + 0.82363 \log R/L$	R/L: Relief/length of main stream (m/m)
Vanoni (1975)	$SDR = 0/42 A^{-0.125}$	A: Watershed area (mil^2)
Boyce-A (1975)	$SDR = 0.41 A^{-0.3}$	A: Watershed area (km^2)
Boyce-B (1975)	$SDR = 0.375 A^{-0.238}$	A: Watershed area (km^2)
Mutchler and Bowie (1975)	$SDR = 0.488 - 0.006A + 0.01R_o$	R_o : Average annual runoff (in) A: Watershed area (mil^2)
Williams and Berndt (1977)	$SDR = 1.366 * 10^{-12} (A)^{-0.0998} (R/L)^{0.3629} (CN)^{5.444}$	R/L: Relief/length of main stream (mil/mil) CN: Curve number
USDA-SCS (1971)	$SDR = 0.332 A^{-0.2236}$	A: Watershed area (km^2)

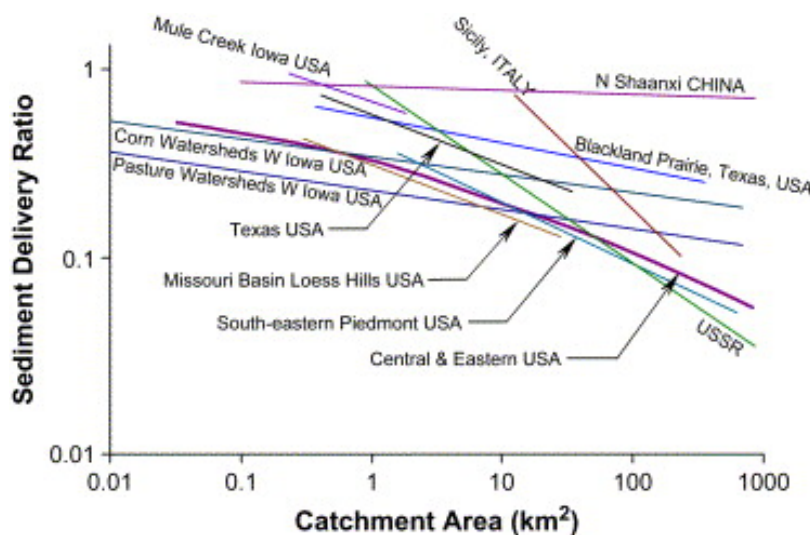
ارائه شده است که در پژوهش برای برآورد نسبت تحويل رسوبر در حوزه آبخیز خامسان از این منحنی‌ها نیز استفاده شد (شکل‌های ۲ تا ۴).

علاوه بر روابط ارائه شده در جدول (۱)، برای محاسبه نسبت تحويل رسوبر با توجه به ویژگی‌های حوزه آبخیز، تعدادی منحنی نیز توسط پژوهشگران برای بیان رابطه بین نسبت تحويل رسوبر و مساحت



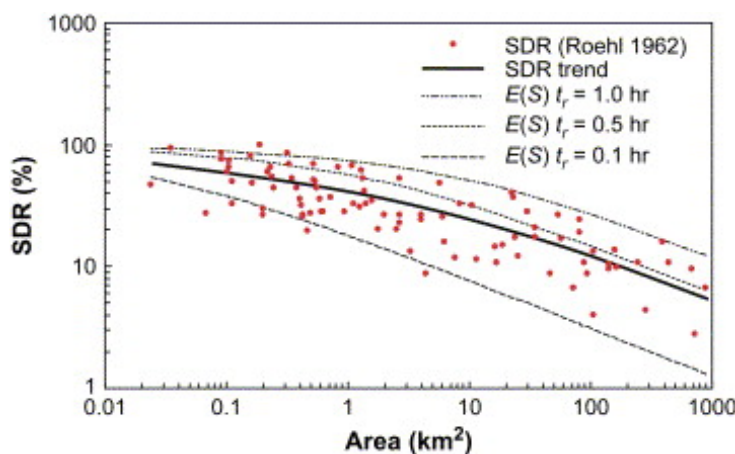
شکل ۲- رابطه بین مساحت حوزه آبخیز و نسبت تحويل رسوبر در امریکا (USDA-SCS, 1981)

Fig. 2. Relationship between watershed area and sediment delivery ratio (USDA-SCS, 1981)



شکل ۳- رابطه بین نسبت تحویل رسوب و مساحت حوزه آبخیز بر حسب کیلومترمربع در بخش‌هایی از ایالت‌های متحده امریکا، اروپا و آسیا
(Ferro and Minacapilli, 1995; Walling, 1983)

Fig. 3. Relationship between sediment delivery ratio and watershed area (km^2) in sections of USA, European and Asia (Walling, 1983; Ferro and Minacapilli, 1995)



شکل ۴- تلفیق اثرات مساحت و مدت زمان بارندگی مازاد بر نسبت تحویل رسوب (Roehl, 1962)
Fig. 4. Effects incorporation area and rainfall duration on sediment delivery ratio (Roehl, 1962)

تطابق با مدل رقومی ارتفاع در نظر گرفته شد. سپس، نقشه‌ها در محیط Arcview طبق رابطه مدل در یکی‌گر ضرب، نقشه شدت فرسایش محاسبه و با استفاده از زیرمدلی به نام نسبت تحویل رسوب/رسوبدهی اقدام به تهیه نقشه نسبت تحویل رسوب و ضرب آن در نقشه فرسایش برای به دست آوردن نقشه رسوبدهی حوزه و زیرحوزه‌های آبخیز شد (Lim et al., 2005). برای این منظور، نقاط خروجی زیرحوزه‌های آبخیز به صورت یک لایه نقطه‌ای برای انجام محاسبات به نرم‌افزار معرفی شد و سپس، میزان رسوبدهی در نقاط مذکور برآورد شد.

مدل RUSLE: مدل SATEEC، از مدل RUSLE برای برآورد میزان هدررفت خاک در واحد سطح استفاده می‌کند. مجموعه داده‌های ورودی این مدل شامل مدل رقومی ارتفاع و نقشه‌های عوامل مورداستفاده در رابطه جهانی هدررفت خاک است. هر یک از نقشه‌های فوق در قالب رستر به صورت لایه‌های جداگانه به محیط نرم‌افزار Arcview فراخوانده شدند. در نهایت، بررسی و محاسبه نقشه عامل LS نیز توسط Moore and Burch (1986) انجام گرفت. ابعاد سلولی هریک از نقشه‌های مربوطه یعنی R , C , K و P برابر ۱۰ متر و در

عملکرد عوامل فیزیکی مؤثر در رابطه انتقال رسوب است (Behzadfar et al., 2017). در این مدل، داده‌های موردنیاز برای اجرای مدل WaTEM/SEDEM از جمله نقشه‌های عامل فرسایندگی باران^۵، عامل فرسایش پذیری خاک^۶، عامل توپوگرافی^۷، عامل مدیریت زراعی^۸، عامل مدیریت اراضی^۹ و مدل رقومی ارتفاع^{۱۰} از پژوهش‌های انجام شده پیشین (Faraji, 2018; Khaledi Darvishan et al., 2021) در حوزه آبخیز معرف-زوجی خامسان تهیه شد.

روش سزیم-۱۳۷^{۱۱}: در بسیاری از منابع، از روش سزیم-۱۳۷ به عنوان تنها روش موجود و قابل اعتماد برای اندازه‌گیری اجزای بودجه رسوب شامل فرسایش کل، رسوب‌گذاری کل، فرسایش خالص (رسوب‌دهی) و نسبت تحويل رسوب به‌ویژه در مقیاس دامنه و زیرحوزه آبخیز یاد شده است (به عنوان مثال، Sedighi et al., 2013; Gasper et al., 2013; Walling, 2012). همچنین، در پژوهش‌های قبلی به‌منظور ارزیابی روش سزیم-۱۳۷ از داده‌های رسوب خروجی حوزه آبخیز خامسان استفاده شده و صحت این روش در حوزه آبخیز خامسان مورد تأیید قرار گرفته است.

بنابراین، نتایج محاسبه نسبت تحويل رسوب برای کل حوزه آبخیز خامسان به روش سزیم-۱۳۷ حاصل پژوهش (Sedighi et al., 2022) برای مقایسه روش‌های برآورد نسبت تحويل رسوب در پژوهش حاضر استفاده شد. به عبارت دیگر، نتایج برآوردهای نسبت تحويل رسوب حاصل از مدل‌های تجربی در تمامی داده‌های تعداد ۱۵ زیرحوزه‌های آبخیز با متوسط نسبت تحويل رسوب حاصل از روش سزیم-۱۳۷ در زیرحوزه‌های آبخیز مقایسه شد و مدل‌هایی که نزدیک‌ترین برآوردها را با نتایج سزیم-۱۳۷ داشتند، به عنوان مدل‌های برتر

مدل InVEST: یکی از نرم‌افزارهای با قابلیت برآورد خدمات بوم‌سازگان، نرم‌افزار ارزش‌گذاری یکپارچه مبادلات و خدمات محیط زیستی است. نرم‌افزار InVEST شامل مجموعه‌ای از مدل‌های مجزاست که هر یک از مدل‌ها به بررسی الگوی مکانی خدمات بوم‌سازگان^{۱۲} و تغییرات آنها با توجه به تغییر کاربری اراضی می‌پردازد. در پژوهش حاضر، از نرم‌افزار InVEST برای محاسبه نسبت تحويل رسوب نیز استفاده شد. مدل InVEST با استفاده از رابطه جهانی هدررفت خاک اصلاح شده و ادغام اطلاعات در نقشه‌های^{۱۳} خصوصیات خاک، مدل رقومی ارتفاع، داده‌های بارندگی و آب و هوا هرکدام در مقیاس پیکسل می‌تواند به شناسایی پتانسیل هدررفت خاک و انتقال رسوب در هر بخش از زمین بپردازد. درنهایت، شاخص نگهداشت رسوب^{۱۴} (که نشان‌دهنده جلوگیری از هدررفت خاک کاربری اراضی مورد بررسی در مقایسه با خاک لخت توسط عامل نسبت تحويل رسوب است) را با استفاده از رابطه (۱) محاسبه می‌کند (Karthikeyet et al., 2018).

$$(1) \text{R}_{i,K_i,LS_i}(I-C_iP_i)SDR_i = R_{i,K_i,LS_i} - \text{رسوب نگهداشت شاخص}$$

که در آن، R، LS، K، C و P عوامل مدل رابطه جهانی هدررفت خاک اصلاح شده^{۱۵} هستند و نسبت تحويل رسوب درصدی از مواد فرسایش‌یافته است که به صورت رسوب از حوزه آبخیز خارج می‌شود. این شاخص چون نگهداری مقدار رسوب بالادست را در نظر نمی‌گیرد، نگهداشت رسوب را کم تخمین می‌زند و بیشتر به صورت کیفی تفسیر می‌شود (Karthikeyet et al., 2018).

مدل WaTEM/SEDEM: مدل WaTEM/SEDEM در بخش WaTEM برای برآورد فرسایش خاک مبتنی بر مدل RUSLE و در بخش SEDEM مبتنی بر

^۱ Ecosystem Services

^۲ Land Use/Land Cover (LULC)

^۳ Sediment Retention Index

^۴ Revised Universal Soil Loss Equation (RUSLE)

^۵ Rainfall Erosivity Factor (R)

^۶ Soil Erodibility Factor (K)

^۷ Length Slope Factor (LS)

^۸ Land Cover Factor (C)

^۹ Management Factor (P)

^{۱۰} Digital Elevation Model (DEM)

نتایج و بحث

نتایج برآورد نسبت تحويل رسوب با استفاده از مدل‌های تجربی مبتنی بر متغیرهای زودیافت و مدل‌های InVEST و SATEEC

WaTEM/SEDEM: برآوردهای نسبت تحويل رسوب حاصل مدل‌های مبتنی بر متغیرهای زودیافت در جدول (۲) ارائه شده است. همچنین، نتایج برآورد نسبت تحويل رسوب در مدل‌های InVEST، SATEEC و WaTEM/SEDEM در حوزه آبخیز معرف-زوجی خامسان در جدول (۳) آورده شده است.

نتایج برآورد نسبت تحويل رسوب با استفاده از روش سزیم-۱۳۷: همان‌طور که گفته شد، نتایج نسبت تحويل رسوب با استفاده از روش سزیم-۱۳۷ (Sedighi et al., 2022) که در پژوهش‌های قبلی در حوزه آبخیز معرف-زوجی خامسان انجام شده بود (جدول ۴)، به منظور ارزیابی برآوردهای مدل‌های تجربی مورد استفاده قرار گرفت.

بیشتر سطح زیرحوزه آبخیز شماره ۱۰، شامل اراضی دیم است و به‌دلیل کم بودن رواناب سطحی ناشی از شیب کم زیرحوزه آبخیز و شخم گسترده اراضی، تنها بخش ناچیزی از فرسایش به خروجی زیرحوزه آبخیز انتقال می‌پابد. از طرف دیگر، یک نوار باریک برونزد سنگی پرشیب موجب ریزش ذرات خرد سنگ و خاک به پای دامنه با کاربری مرتع شده و نتایج روش سزیم-۱۳۷ در نقاط نمونه‌برداری شده در این بخش عمدهاً نشان‌دهنده رسوب‌گذاری باشد کم بوده است. بنابراین، در مجموع مقدار رسوب‌گذاری در این زیرحوزه آبخیز به مقدار ناچیزی بیشتر از مقدار فرسایش برآورد شده و در عمل نسبت تحويل رسوب برابر صفر در نظر گرفته شده است.

معرفی شدند. دلیل استفاده از روش میانگین این است که مهم‌ترین پارامتر مؤثر در برآورد نسبت تحويل رسوب در مدل‌های تجربی، مساحت زیرحوزه آبخیز است و بنابراین، می‌بایست متوسط برآوردهای مدل‌ها در زیرحوزه آبخیزهای مورد بررسی با مساحت‌های مختلف برای مقایسه با نتایج سزیم-۱۳۷ استفاده می‌شد.

این در حالی است که مهم‌ترین پارامتر مؤثر در اندازه‌گیری نسبت تحويل رسوب در روش سزیم-۱۳۷ در حوزه آبخیز مورد مطالعه، کاربری اراضی است (Sedighi et al., 2021, 2022) و بنابراین، در برخی زیرحوزه‌های آبخیز به‌دلیل بالا بودن درصد کاربری دیم، نسبت تحويل رسوب حاصل از روش سزیم-۱۳۷ بسیار زیاد و در برخی دیگر که بیشتر پوشیده از اراضی مرتعی بودند، نسبت تحويل رسوب حاصل از روش سزیم-۱۳۷ بسیار کم بود. دامنه بسیار زیاد تا بسیار کم به‌دلیل تغییرات زیاد درصد اراضی زراعی دیم در زیرحوزه‌های آبخیز بوده است.

به عبارت دیگر، در بیشتر زیرحوزه‌های آبخیزی که اراضی دیم در آنها غالب است، نسبت تحويل رسوب بالاتر بوده است. در نهایت، همان‌طور که قبلاً گفته شد، ارزیابی صحت نتایج روش سزیم-۱۳۷ با استفاده از داده‌های رسوب مشاهداتی مورد تأیید قرار گرفته و به‌همین دلیل به عنوان روش مرجع برای ارزیابی مدل‌های پیش‌بینی نسبت تحويل رسوب در نظر گرفته شد.

برای انجام تحلیل‌های آماری، ابتدا با توجه به تعداد کم داده‌ها نرمال بودن با استفاده از آزمون شاپیروویلک (Razali and Wash, 2011) بررسی شد. داده‌هایی که دارای پراکنش غیرنرمال بودند، تلاش لازم برای نرمال کردن از طریق تغییر داده‌ها به صورت‌های معمول (الگاریتم، جذر و غیره) انجام شد.

سپس، برای مقایسه نتایج به دست آمده از روش‌های مختلف برآورد نسبت تحويل رسوب با روش سزیم-۱۳۷ برای داده‌های نرمال با استفاده از آزمون χ^2 زوجی و برای داده‌هایی که دارای پراکنش نرمال نبودند، از آزمون غیرپارامتریک ویلکاکسون در نسخه ۲۰ نرم‌افزار SPSS استفاده شد.

جدول ۲ - نتایج برآورد نسبت تحویل رسوب سالانه در حوزه آبخیز معرف-زوجی خامسان با استفاده از روش‌های تجربی مبتنی بر متغیرهای زودیافت

Table 2. Estimation results of SDR in Khamsan representative-paired watershed using empirical methods based on easy-to-measure variables

Sub watershed	Roehl (1962)															
	Excess rainfall for 1.0 hours	Excess rainfall for 0.5 hours	Excess rainfall for 0.1 hours	Mutchler and Bowie (1975)	Boyce-B (1975)	Boyce-A (1975)	USDA-SCS (1971)	USDA (1979)	Maner (1958)	Williams and Brendt (1972)	Williams and Berndt (1977)	Vanoni (1975)	Renfro (1975)	Renfro and Waldo (1983)	Walling (1983) & Ferro and Minacapalli (1995)	USDA-SCS (1981)
S ₁	73.0	57.0	18.0	48.7	39.0	43.0	34.4	57.6	46.1	35.4	2.4	48.3	66.4	60.5	37.5	41.0
S ₂	78.0	60.0	19.0	48.7	.9.9	44.3	35.2	58.3	48.0	33.5	2.7	57.9	69.2	51.3	37.3	42.0
S ₃	65.0	50.0	16.0	48.7	36.8	40.0	32.6	53.1	41.2	29.9	2.0	46.8	60.1	49.7	36.1	40.0
S ₄	67.0	49.0	14.0	48.6	34.1	36.3	30.3	54.2	36.5	28.8	1.7	45.0	52.6	46.4	35.1	40.0
S ₅	68.0	49.0	13.0	48.4	30.3	31.4	37.2	51.3	29.9	28.7	1.7	52.3	43.1	36.2	33.1	40.0
S ₆	71.0	51.0	16.0	48.5	32.9	34.8	29.4	53.3	34.5	30.0	2.1	44.2	49.6	37.4	33.9	40.0
S ₇	50.0	39.0	10.0	47.7	25.1	24.8	22.8	47.1	21.6	25.8	1.7	38.4	31.1	30.0	30.3	30.0
S ₈	60.0	40.0	10.0	47.9	26.1	26.3	23.8	48.1	23.4	26.0	1.6	39.3	33.7	29.6	31.0	32.0
S ₉	68.0	49.0	13.0	48.3	29.9	30.8	26.8	51.0	29.1	28.9	1.9	42.0	42.0	38.4	33.0	34.0
S ₁₀	65.0	48.0	12.0	48.7 ₂	29.0	29.7	26.1	50.3	27.7	28.3	1.6	41.4	39.9	29.0	32.0	35.0
S ₁₁	69.0	50.0	14.0	48.4	31.0	32.2	27.8	51.9	31.0	27.9	1.2	42.8	44.7	12.6	33.3	31.0
S ₁₂	71.0	51.0	16.0	48.5	33.0	34.9	29.4	53.4	34.6	17.9	0.7	44.2	49.8	24.7	34.7	37.0
S ₁₃	79.0	61.0	22.0	48.8	42.1	47.5	37.0	59.8	52.8	26.8	1.4	50.3	76.1	34.2	36.9	43.0
S ₁₄	73.0	59.0	18.0	48.7	37.6	41.1	33.3	56.7	43.3	24.8	1.3	47.4	62.4	30.8	37.1	40.0
S ₁₅	74.0	59.0	19.0	48.7	38.4	42.3	34.0	57.3	45.0	27.5	1.4	47.9	64.8	36.1	36.7	42.0
Total	22.0	18.0	4.1	38.9	15.3	13.2	14.3	37.4	9.1	20.8	0.8	29.5	13.2	20.7	25.3	20.0

جدول ۳- نتایج برآورد نسبت تحویل رسوب سالانه با استفاده از مدل‌های WaTEM/SEDEM و InVEST، SATEEC**Table 3.** Estimation results of annual SDR using SATEEC, InVEST and WaTEM/SEDEM

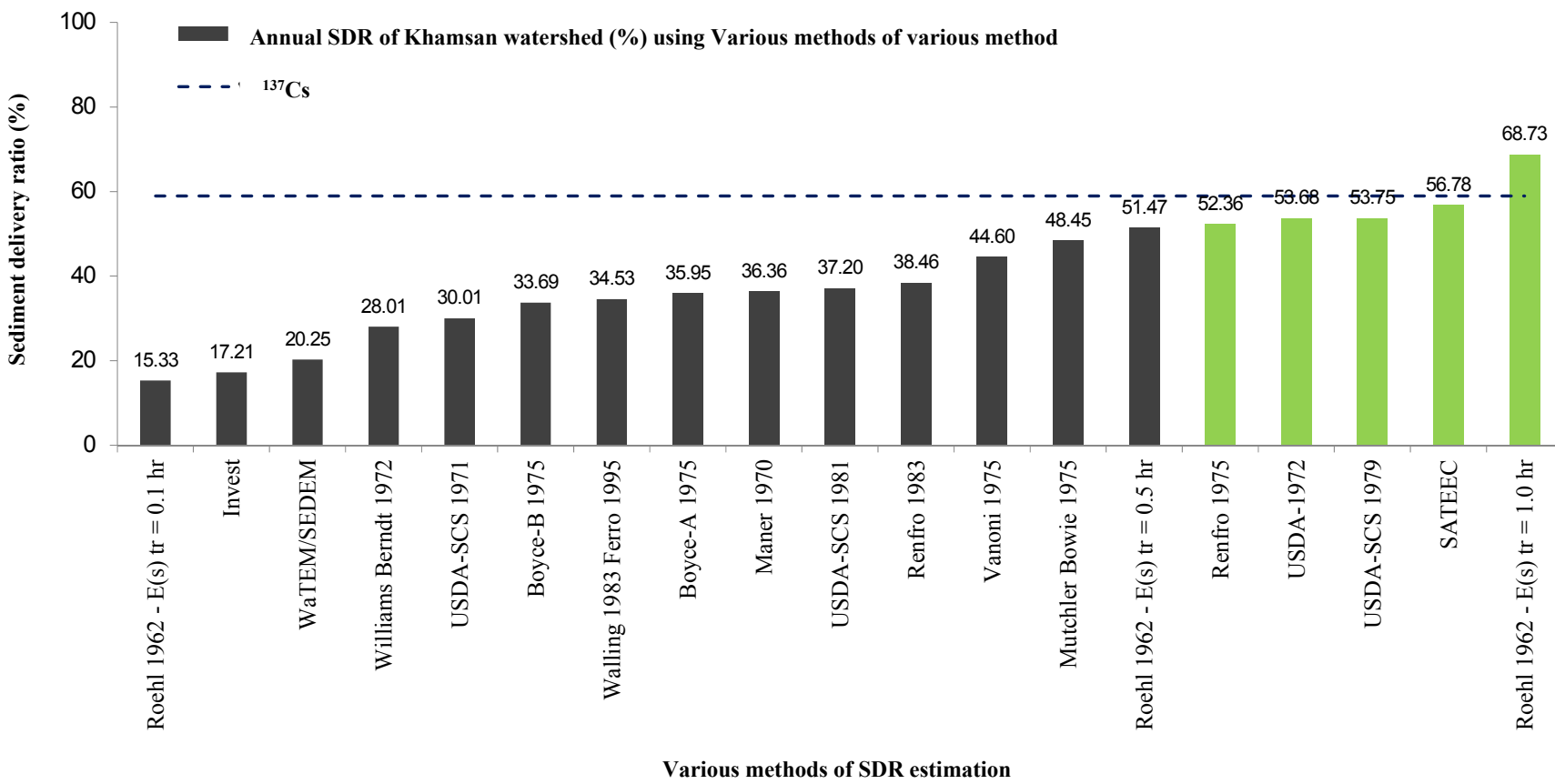
Sub watershed	WaTEM/SEDEM	InVEST	SATEEC
S ₁	21.3	18.6	57.8
S ₂	21.2	18.3	63.2
S ₃	19.9	18.1	36.9
S ₄	19.3	17.5	63.1
S ₅	19.9	17.3	57.3
S ₆	21.2	18.3	53.2
S ₇	21.8	19.0	47.1
S ₈	21.6	18.5	48.1
S ₉	21.2	19.0	48.1
S ₁₀	19.9	18.3	55.3
S ₁₁	19.0	16.7	60.4
S ₁₂	18.6	12.3	63.1
S ₁₃	18.6	15.5	63.4
S ₁₄	20.7	15.4	59.3
S ₁₅	19.9	15.6	58.2
Total	19.4	17.8	38.3

جدول ۴- نتایج محاسبه نسبت تحویل رسوب (درصد) با استفاده از روش سزیم-۱۳۷ در حوزه آبخیز معرف-زوجی خامسان (Sedighi et al., 2022)**Table 4.** Estimation results of SDR (%) using ¹³⁷Cs in Khamsan representative-paired watershed (sadeghi et al., 2022)

Sub watershed	SDR (%)	Sub watershed	SDR (%)
S ₁	29.9	S ₉	60.2
S ₂	00.0	S ₁₀	74.1
S ₃	53.4	S ₁₁	62.4
S ₄	68.6	S ₁₂	72.4
S ₅	91.5	S ₁₃	92.1
S ₆	29.4	S ₁₄	58.1
S ₇	81.2	S ₁₅	40.2
S ₈	25.6	Total	70.7

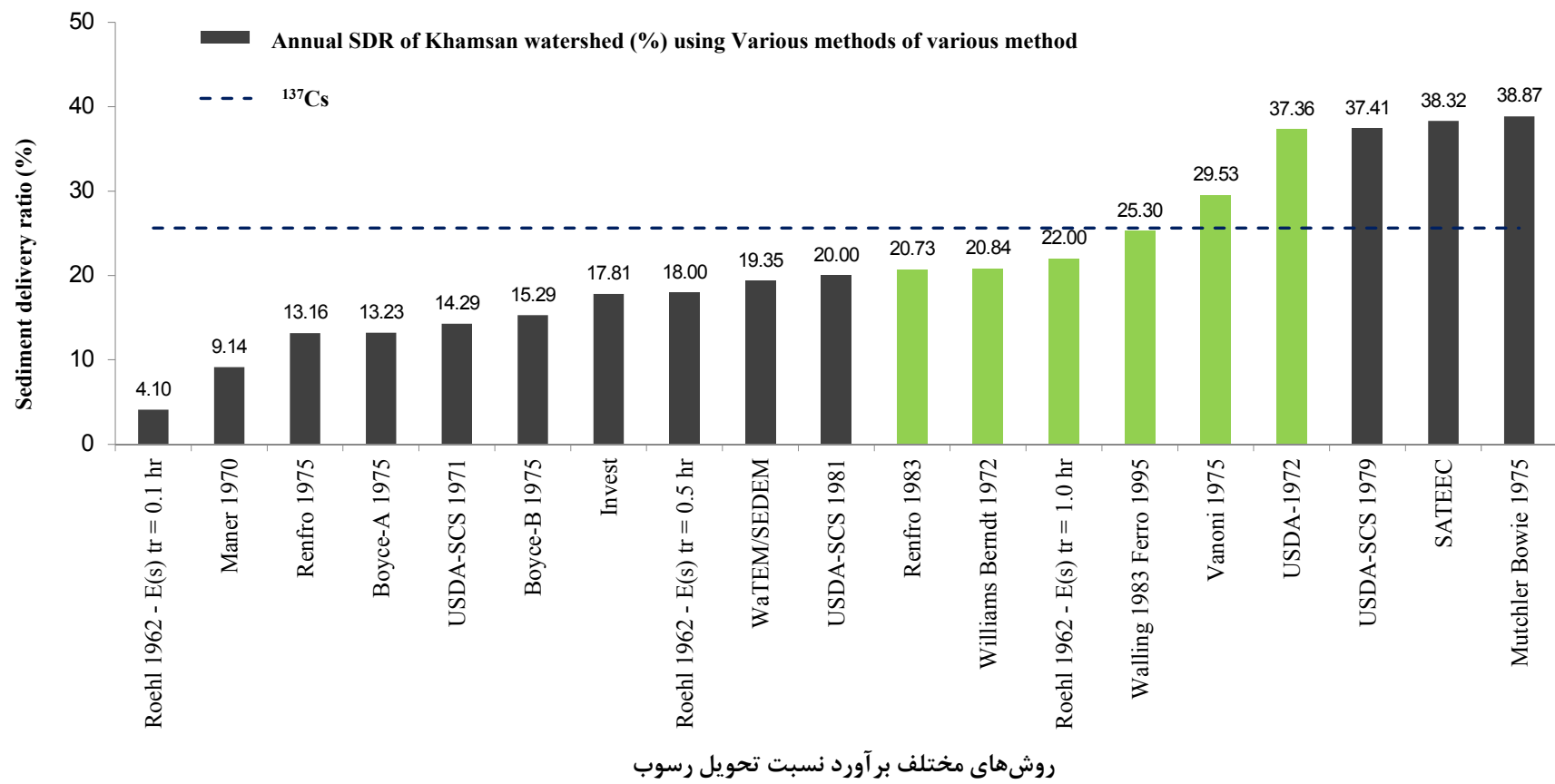
همچنین، مقایسه نتایج نسبت تحویل رسوب با استفاده از مدل‌های تجربی و روش سزیم-۱۳۷ در حوزه آبخیز معرف خامسان در جدول (۵) ارائه شده است. با توجه به نرمال نبودن و عدم امکان نرمال کردن داده‌های مربوط به برخی مدل‌ها، برای بررسی اختلاف نتایج مدل‌های مختلف با روش سزیم-۱۳۷ از آزمون ویلکاکسون استفاده شد.

مقایسه روش‌های تخمین نسبت تحویل رسوب با نتایج روش سزیم-۱۳۷: شکل (۵)، مقایسه تمام روش‌های استفاده شده برای برآورد نسبت تحویل رسوب با روش سزیم-۱۳۷ را در مقیاس زیرحوزه آبخیزها و شکل (۶) نیز، این مقایسه را در مقیاس کل حوزه آبخیز معرف-زوجی خامسان نشان می‌دهد.



شکل ۵- مقایسه روش‌های برآورد نسبت تحویل رسوب با روش سزیم-۱۳۷ در مقیاس زیر حوزه آبخیز حوزه آبخیز خامسان

Fig. 5. Comparison of estimation methods of SDR with ¹³⁷Cs method in sub-watershed scale of Khamsan representative-paired watershed

شکل ۶- مقایسه روش‌های برآورد نسبت تحویل رسوب با روش سزیم ^{137}Cs در حوزه آبخیز معرف-زوجی خامسانFig. 6. Comparison of estimation methods of SDR with ^{137}Cs method in Khamsan representative-paired watershed

جدول ۵- مقایسه نتایج نسبت تحویل رسوب با استفاده از مدل‌های تجربی و روش سزیم- ۱۳۷ در حوزه آبخیز معرف خامسان

Table 5. Results comparison of SDR using empirical methods and ^{137}Cs method in sub-watershed scale of Khamisan representative-paired watershed

	P-Value	Z-Value	Data pair examined
^{137}Cs method	0.687	-0.402	USDA-SCS (1981)
	0.981	-0.024	Ferro and :Walling (1983) Minacapalli (1995)
	0.001*	-3.290	Excess rainfall for -Roehl (1962) 1.0 hours
	0.001*	-3.314	Excess rainfall for -Roehl (1962) 0.5 hours
	0.246	-1.160	Excess rainfall for -Roehl (1962) 0.1 hours
	0.523	-0.639	Renfro (1983)
	0.044*	-2.012	Renfro (1975)
	0.084	-1.728	Vonani (1975)
	0.009*	-2.627	Brendet and Williams (1977)
	0.554	-0.592	Brendet and Williams (1972)
	0.981	-0.024	Maner (1958)
	0.015*	-2.438	USDA (1979)
	0.635	-0.450	USDA-SCS (1971)
	0.981	-0.024	Boyce-A (1975)
	0.795	0.26	Boyce-B (1975)
	0.000*	-3.621	Mutchler and Bowie (1975)
	0.015*	-2.431	SATEEC
	0.001*	-3.206	InVEST
	0.352	-0.931	WaTEM/SEDEM

نسبت تحویل رسوب از بارندگی و رواناب بیشتر از ویژگی‌های توپوگرافی بوده و بهمین دلیل، نتایج آن نیز با روش‌های مذکور اختلاف معنی‌داری نداشته است. نتایج نشان داد، تمام روش‌های برآورد نسبت تحویل رسوب مبتنی بر متغیرهای زودیافت با مدل WaTEM/SEDEM به میزان قابل توجهی تفاوت دارند و حتی روش‌های تجربی مبتنی بر متغیرهای زودیافت عملکرد بهتری دارند. ذکر این نکته الزامی است که اجرای مدل WaTEM/SEDEM مستلزم تهیه ورودی‌های بسیار بیشتر و بهمراتب سخت‌تر است.

این نتایج با بخشی از نتایج Asghari Srasknrod et al., (2013) و نتایج Bayat and Moradi (2014) و نتایج Renfro (1962) مبنی بر موفقیت نسبتاً خوب روش نسبت به سایر روش‌ها همخوانی دارد. همچنین، با نتایج Sadeghi et al., (2008) و Kheirkhah and USDA-SCS (1981) و Renfro Nazarnezhad (2013) (1983) به عنوان بهترین روش تجربی مغایرت دارد. به منظور، جستجوی دلایل احتمالی متناقض بودن نتایج مدل‌های برآوردها نسبت تحویل رسوب، نقشه شبیه متوسط زیرحوزه آبخیزها مورد بررسی قرار گرفت و مشخص شد که شبیه رابطه مثبت با نسبت تحویل

نتایج آزمون ویلکاکسون نشان داد، نتایج روش‌های برآورد نسبت تحویل رسوب مبتنی بر متغیرهای زودیافت جزء روش‌های -Roehl (1962) و Mutchler and Williams and Renfro (1975) و ۰/۵ ساعت، ۰/۱ و ۰/۶ و ۰/۷۵ ساعت، با نتایج روش سزیم- ۱۳۷ تفاوت معنی‌دار ندارد. همچنین، نتایج آزمون ویلکاکسون نشان داد که برآوردهای مدل‌های InVEST و SATEEC با نتایج روش سزیم- ۱۳۷ به ترتیب در سطوح اعتماد ۹۹ و ۹۵ درصد تفاوت معنی‌دار دارند، ولی بین نتایج مدل WaTEM/SEDEM و نتایج مدل سزیم- ۱۳۷ تفاوت معنی‌داری وجود ندارد.

تحلیل برآورد نسبت تحویل رسوب با استفاده از روش‌های تجربی و مدل‌های SATEEC و WaTEM/SEDEM و زوجی خامسان: مقایسه نتایج برآورد نسبت تحویل رسوب زیرحوزه‌های آبخیز با روش‌های مختلف نشان داد که روش‌های Roehl (1962) که مبتنی بر بارندگی مازاد هستند و همچنین، روش Mutchler and Bowie (1975) که در آن از ارتفاع رواناب سالانه استفاده شده است، تطابق خوبی با نتایج مدل InVEST دارند. در حقیقت، اثربخشی نتایج مدل InVEST برای تخمین

SATEEC و روش (1962) Roehl با بارش مازاد یک ساعت نزدیکترین برآوردها را به روش سزیم-۱۳۷ داشتند (شکل ۵). شرایط توبوگرافی خاص زیرحوزه‌آبخیزها در حوزه آبخیز معرف-زوجی خامسان شاید یکی از دلایل کم تخمین بودن بیشتر مدل‌های برآورد نسبت تحويل رسوب در مقایسه با روش سزیم-۱۳۷ باشد. همان‌طور که در شکل (۱) دیده می‌شود، زیرحوزه‌های آبخیز مورد بررسی عموماً پرشیب بوده و در نزدیکی نقطه خروجی به یکباره وارد یک دشت میانی کم شیب می‌شوند و بخش زیادی از بار رسوب خروجی از زیرحوزه آبخیزها در ابتدای ورود به دشت ترسیب می‌شود و در نتیجه اختلاف نسبت تحويل رسوب در زیرحوزه‌های آبخیز و کل حوزه آبخیز زیاد و بیش از ۳۰ درصد است. حال آنکه همان‌طور که در شکل (۶) مشخص است نسبت تحويل رسوب قابل قبول برای حوزه آبخیز معرف-زوجی خامسان با توجه نتایج روش سزیم-۱۳۷ بین ۲۰ تا ۳۰ درصد است. بنابراین، تمام روش‌هایی که مقادیر بیشتر یا کمتر از این دامنه را برآورد کرده‌اند، برای این آبخیز مناسب نیستند. با توجه به توضیحات ارائه شده می‌توان گفت در مقیاس کل حوزه آبخیز، از بین روش‌های بررسی شده برای برآورد نسبت تحويل رسوب، روش‌های Renfro and Waldo (1983)، Roehl; Williams and Brendt (1983)، Walling (1983)، (1962) با بارش مازاد یک ساعت، (2008) Sadeghi et al., (1975) USDA (1972)، Ferro (1995)، Vanoni (1975)، (1962) Roehl و USDA-SCS (1981) نزدیکترین برآوردها را به روش سزیم-۱۳۷ داشتند (شکل ۶). یافته‌های پژوهش حاضر همچنین، با نتایج مبنی بر برآورد مناسب روش Sadeghi et al., (2008) و Roehl (1962)-بارش مازاد ۱/۰ ساعت، (2013) Asadi Nalivan et al., در عملکرد مناسب روش Renfro and Waldo (1983) در برآورد نسبت تحويل رسوب مطابقت و با نتایج Hamel et al., (2015, 2016) مبنی عملکرد مناسب مدل InVEST در برآورد نسبت تحويل رسوب مغایرت دارد. نتایج این پژوهش با نتایج Park et al., (2005)، Lim et al., (2014)، Damian et al., (2010) و Renfro et al., (1975) USDA-SCS (1979) قابل قبول نسبت تحويل رسوب با استفاده از مدل

رسوب حاصل از مدل SATEEC ندارد. بنابراین، احتمالاً عامل اصلی بیشتر بودن نسبت تحويل رسوب در زیرحوزه آبخیز S_3 کوتاه بودن دامنه در این زیرحوزه، آبخیز نسبت به زیرحوزه‌های آبخیز با شبیه بیشتر (S_9 ، S_8 و S_7) و اما با کشیدگی بیشتر است. همچنین، مدل SATEEC امکان برآورد نسبت تحويل رسوب در دشت میانی به‌دلیل دارا نبودن آبراهه مستقل را نداشت. نتایج برآورد نسبت تحويل رسوب با استفاده از مدل InVEST نشان داد که برای کل آبخیز ۱۸/۸۱ درصد، بالاترین مقدار برای زیرحوزه آبخیز S_6 با مقدار ۱۸/۹۸ درصد و پایین‌ترین مقدار برای زیرحوزه آبخیز S_{12} با مقدار ۱۲/۲۸ درصد بود. برای بررسی دلایل احتمالی این نتایج، مجدداً نقشه شیب متوسط زیرحوزه‌های آبخیز مورد بررسی قرار گرفت و مشخص شد که شبیب رابطه مثبت با نسبت تحويل رسوب حاصل از مدل InVEST دارد، چراکه بیشترین شبیب متوسط زیرحوزه‌های آبخیز نیز مربوط به زیرحوزه آبخیز S_9 (۴۱/۰۳ درصد) است. می‌توان این‌گونه استنباط نمود که در تخمین نسبت تحويل رسوب، شبیب متوسط دامنه‌ها در مدل InVEST نقش مهم‌تری نسبت به مدل SATEEC ایفا نموده است.

تحلیل مقایسه روش‌های مورداستفاده با روش سزیم-۱۳۷: همان‌طور که قبلاً گفته شد، روش سزیم-۱۳۷ نیز با توجه به اینکه به عنوان یک روش اندازه‌گیری فرسایش و رسوب از آن نام برده می‌شود و تعداد قابل توجهی از پژوهشگران در کشورهای مختلف (Gaspar Porto and Dercon et al., 2012؛ et al., 2013 Walling, 2013) کارایی این روش را برای محاسبه اجزای بودجه رسوب تایید کرده‌اند. بنابراین، اقدام به مقایسه تمام روش‌های برآورد نسبت تحويل رسوب استفاده شده در این پژوهش با نسبت تحويل رسوب حاصل از روش مذکور شد.

نتایج برآورد نسبت تحويل رسوب برای زیرحوزه آبخیزها و همچنین، کل حوزه آبخیز معرف-زوجی خامسان با استفاده از مدل‌های مبتنی بر متغیرهای زودیافت نشان داد که از میان مدل‌های مورد بررسی، در مقیاس زیرحوزه آبخیز تقریباً همه مدل‌های مورد بررسی کم تخمین بودند و تنها روش‌های (1972)، USDA (1979) و Renfro (1975) مدل

رسوب به روش سزیم-۱۳۷ در پژوهش‌های قبلی در حوزه آبخیز خامسان، نسبت تحويل رسوب برای کل حوزه آبخیز و برای متوسط ۱۵ زیرحوزه آبخیز به ترتیب ۲۵/۶۱ و ۵۸/۹۴ درصد محاسبه شده که به عنوان مبنای ارزیابی مدل‌های تجربی در دو مقیاس حوزه آبخیز و متوسط زیرحوزه‌های آبخیز استفاده شد.

در مقیاس زیرحوزه‌های آبخیز برآوردهای معادلات مبتنی بر متغیرهای زودیافت جزء روش Roehl (1962)-بارش مزاد ۰/۱ ساعت به طور معنی‌داری کمتر از مدل SATEEC بوده است. از طرفی، برآوردهای تمام روش‌های مذکور به جز روش (1962) Roehl-بارش مزاد ۰/۱ ساعت به طور معنی‌داری بیشتر از مدل InVEST و WaTEM/SEDEM بود.

این موضوع بر اهمیت در نظر گرفتن شرایط بارش مزاد برای برآورد نسبت تحويل رسوب در معادلات ارائه شده توسط Roehl تأکید دارد. همچنین، در مقیاس کل آبخیز نیز برآوردهای معادلات مبتنی بر متغیرهای زودیافت به جز روش (1975) Mutchler and Bowie کمتر از نتایج مدل SATEEC بود. اختلاف زیاد عملکرد روش‌های مورد بررسی در دو مقیاس زیرحوزه آبخیز و کل حوزه آبخیز ناشی از اثر انکارناپذیر دشت میانی حوزه آبخیز خامسان در کاهش شدید انتقال رسوب زیرحوزه‌های آبخیز تا خروجی کل حوزه آبخیز بوده است.

تشکر و قدردانی

نویسندها بر خود لازم می‌دانند تا از زحمات خانم‌ها الهه فتحی درهنجچه و بیتا محمودی در جمع آوری داده‌های موجود و بازدید صحرایی از حوزه آبخیز خامسان قدردانی نمایند. همچنین، بدین‌وسیله از زحمات داوران گرامی در راستای ارتقای کیفیت مقاله تقدیر می‌شود.

SATEEC نیز البته در مقیاس کل حوزه آبخیز مغایر است و همان‌طور که گفته شد شرایط خاص توبوگرافی و موقعیت دشت میانی حوزه آبخیز خامسان منجر به کاهش شدید تحويل رسوب در خروجی کل آبخیز شده و یکی از دلایل اصلی عدم کارایی مناسب و بیش تخمین بودن مدل SATEEC در مقیاس کل حوزه آبخیز بوده است.

نکته بسیار مهم دیگری که می‌بایست در تحلیل مقایسه برآورد مدل‌های تجربی با نتایج سزیم-۱۳۷ مورد توجه قرار داده شود، این است که مدل‌های تجربی مطابق تعریف نسبت تحويل رسوب، کل رسوب (مجموع بار معلق و بستر) را در نظر دارند، در حالی که روش سزیم-۱۳۷ به ویژه به صورتی که در پژوهش حاضر مورد استفاده قرار گرفته، بیشتر بار ریزدانه و معلق حاصل از فرسایش سطحی را مدنظر قرار می‌دهد.

بنابراین، باید گفت بخشی از اختلاف نتایج و به ویژه بیش تخمینی مدل‌های تجربی با متغیرهای زودیافت برای برآورد نسبت تحويل رسوب با نتایج روش سزیم-۱۳۷ به دلیل اختلاف در فرایندهای مورد بررسی در این روش‌ها است. با این حال خوشبختانه در حوزه آبخیز خامسان رخساره‌های فرسایش شیاری و آبکندی مشخصی قابل مشاهده نیست و فرسایش سطحی در این حوزه آبخیز غالب است. بنابراین، روش سزیم-۱۳۷ برای ارزیابی برآوردهای نسبت تحويل رسوب در مدل‌های تجربی مبتنی بر متغیرهای زودیافت مورد استفاده قرار گرفت.

نتیجه‌گیری

در پژوهش حاضر، نتایج تعدادی از روش‌های برآورد نسبت تحويل رسوب شامل مدل‌های تجربی مبتنی بر متغیرهای زودیافت و مدل‌های SATEEC، InVEST و WaTEM/SEDEM مقایسه و ارزیابی قرار گرفت. بر اساس نتایج بودجه‌بندی

منابع مورد استفاده

- Aneseyee, A.B., Elias, E., Soromessa, T., Feyisa, G.L., 2020. Land use/land cover change effect on soil erosion and sediment delivery in the Winike watershed, Omo Gibe Basin, Ethiopia. Sci. Total Environ. 728, 138776.
 Arnold, J.G., Williams, J.R., Srinivaasan, R., King, K.W., 1996. The soil and water assessment tool (SWAT) user? Manual. Temple, TX, PP. 560-572.

- Asadi Nalivan, O., Mohseni Saravi, M., Sour, A., Dastranj, A., Taei, S., 2013. Determine the most appropriate experimental method to estimate the SDR using EPM and physical properties basin, case study Watershed Ghurchay, Golestan Province. Irriga. Water Engineer. 3(2), 19-28 (in Persian).
- Asghari Srasknrod, S., FizolahPour, M., Mohammadnezhad Arvegh, V., 2013. Study of sediment delivery ratio (SDR) in Jajroad River Watershed. Quantita. Geomorpho. Res. 4(1), 67-78 (in Persian).
- Batista, P.V., Laceby, J.P., Davies, J., Carvalho, T.S., Tassinati, D., Silva, M.L., Curi, N., Quinton, J.N., 2021. A framework for testing large-scale distributed soil erosion and sediment delivery models: Dealing with uncertainty in models and the observational data. Environ. Modell. Soft. 137, 104961.
- Bayat, R., Moradi, Sh., 2014. A review of research on sediment delivery ratio. Watershed Manage. Soci. Iran 2(5), 27-36 (in Persian).
- Behzadfar, A., Khaledi Darvishan, A., Gharagozlu, A., 2017. Increasing the accuracy of predicting sediment yield in watem/sedem model using image fusion algorithm, case study: Darkesh Watershed. J. Water Soil Resour. Conserv. 7(1), 99-112 (in Persian).
- Boyce, R.C., 1975. Sediment routing with sediment delivery ratios. In: Present and Prospective Technology for Predicting Sediment Yields and Sources. US Dept. Agric. Publ. ARS-S-40, 61-65.
- Cislaghi, A., Bischetti, G.B., 2019. Source areas, connectivity, and delivery rate of sediments in mountainous-forested hillslopes: A probabilistic approach. Sci. Total Environ. 652, 1168-1186.
- Damian, G., Näsui, D., Damian, F., Ciurte, D.L., 2014. Erosion assessment modeling using the SATEEC GIS model on the Prislop catchment. Present Environ. Sustain. Develop. 1, 217-224.
- Dercon, G., Mabit, L., Hancock, G., Nguyen, M.L., Dornhofer, P., Bacchi, O.O.S., Benmansour, M., Bernard, C., Froehlich, W., Golosov, V.N., Haciyakupoglu, S., Hai, P.S., Klik, A., Li, Y., Lobb, D.A., Onda, Y., Popa, N., Rafiq, M., Ritchie, J.C., Schuller, P., Shakashiro, A., Wallbrink, P., Walling, D.E., Zapata, F., Zhang, X., 2012. Fallout radionuclide-based techniques for assessing the impact of soil conservation measures on erosion control and soil quality: an overview of the main lessons learnt under an FAO/IAEA Coordinated Research Project. Environ. Radioacti. 107, 78-85.
- Dreibrodt, S., Lubos, C., Terhorst, B., Damm, B., Bork, H.R., 2010. Historical soil erosion by water in Germany: Scales and archives, chronology, research perspectives. Quarter. Interna. 222(1-2), 80-95.
- Faraji, J., 2018. Estimating spatial variations of sediment delivery ratio in Khamsan Representative Watershed using WaTEM/SEDEM. MSc Thesis, 68 pages.
- Fernandez, C., Wu, J.Q., McCool D.K., Stockle, C.O., 2003. Estimating water erosion and sediment yield with GIS, RUSLE and SEDD. J. Soil Water Conserv. 58, 128-136.
- Ferro, V., Minacapillia, M., 1995. Sediment delivery processes at basin scale. Hydrol. Sci. J. 40(6), 703-718.
- Ferro, V., Porto, P., 2000. Sediment Delivery Distributed (SEDD) model. J. Hydrol. Engineer. 5(4), 633-647.
- Fu, G., Chen, S., McCool, D.K., 2006. Modeling the impacts of no-till practice on soil erosion and sediment yield with RUSLE, SEDD, and ArcView GIS. Soil Till. Res. 85(1-2), 38-49.
- Gaspar, L., Navas, A., Walling, D.E., Machín, J., Arozamena, J.G., 2013. Using ¹³⁷Cs and ²¹⁰Pbex to assess soil redistribution on slopes at different temporal scales. Catena 102, 46-54.
- Giguet-Covex, C., Arnaud, F., Poulenard, J., Disnar, J.R., Delhon, C., Francus, P., David, F., Enters, D., Rey, P.J., Delannoy, J.J., 2011. Changes in erosion patterns during the Holocene in a currently treeless subalpine catchment inferred from lake sediment geochemistry (Lake Anterne, 2063 m a.s.l., NW French Alps): The role of climate and human activities. The Holocene 21(4), 651-665.
- Glymph, L.M., 1954. Study of sediment yields from watersheds. In: Assemblée Générale de Rome 1954 Tome I, IAHS. Publ. No. 36, 173-191.
- Gubin, F., Shulin, C., Donald, K.M., 2005. Modeling the impacts of no-till practice on soil erosion and sediment yield with RUSLE, SEDD, and ArcView GIS. Soil Till. Res. 85(1-2), 36-49.
- Haan, C.T., Barfield, B.J., Hayes, J.C., 1994. Design hydrology and sedimentology for small catchments. Academic Press, INC., 588 pages.
- Hadley, R.F., Mizuyama, T., 1993. Sediment problems: Strategies for monitoring, prediction and control. Wallingford, Oxfordshire, UK, IAHS Publ. 217, 231-240.
- Hagos, D.B., 2004. A distributed sediment delivery ratio concept for sediment yield modelling. PhD Thesis, 133 pages.
- Hamel, P., Falinski, K., Sharp, R., Auerbach, D.A., Sánchez-Canale, M., Dennedy-Frank, P.J., 2017. Sediment delivery modeling in practice: Comparing the effects of watershed characteristics and data resolution across hydroclimatic regions. Sci. Total Environ. 580, 1381-1388.
- Hamel, P., Chaplin-Kramer, R., Sim, S., Mueller, C., 2015. A new approach to modeling the sediment retention service (InVEST 3.0): case study of the Cape Fear Catchment, North Carolina, USA. Sci. Total Environ. 524, 166-177.

- Javadi, M., Rahmati, S., Rangavar, A., 2017. Assessment of efficiency and accuracy of USLE and its versions for estimating event base sediment in the semi-arid rangelands, case study: Sanganeh Soil Conservation Research Institute of Mashhad. *Watershed Manage. Rese. J.* 30(1), 45-53.
- Kaffas, K., Pisinaras, V., Al Sayah, M.J., Santopietro, S., Righetti, M., 2021. A USLE-based model with modified LS-factor combined with sediment delivery module for Alpine basins. *Catena* 207, 105655.
- Karthikeya, M., Kumar, S.S., Reddy, S.B., 2018. Geospatial assessment of soil conservation impacts in musi project. *Int. J. Res.Technol.* 5(2), 83-87.
- Khaledi Darvishan, A., Faraji, J., Gholami, L., Khorsand, M., 2021. Spatio-temporal variation of soil erosion in Khamsan representative watershed using RUSLE. *Watershed Engin, Manage.* 13(3), 534-547 (in Persian).
- Kheirkhah, A., Nazarnezhad, H., 2013. Determination of Sediment Delivery Ratio (SDR) based on area-based models (case study: Gojar Watershed). *Agricul. Edu. Promo. Res. Organiz. Period 1* (in Persian).
- Kinnell, P.I.A., 2006. Alternative approaches for determining the USLE-M slope length factor for grid cells. *Soil Sci. Soci. Ameri. J.* 69(3), 674-680.
- Kinsey-Henderson, A., Prosser, I., Post, D., 2003. SubNet—predicting sources of sediment at sub-catchment scale using SedNet. In: MODSIM Conference, Townsville, 590-595.
- Lai, R., Bium, W.H., Valentie, C., Stewart, B.A., 1998. Methods for assessment of soil degradation. *Advance. Soil Sci.* 558 pages.
- Lim, K.J., Sagong, M., Engel, B.A., Tang, Z., Choi, J., Kim, K.S., 2005. GIS-based sediment assessment tool. *Catena* 64, 61-80.
- Lu, H., Moran, C.J., Prosser, I.P., 2006. Modeling sediment delivery ratio over the murray darling basin. *Environ. Modell. Soft.* 21, 1297-1308.
- Lu, H., Moran, C.J., Prosser, I.P., Sivapalan, M., 2004. Modeling sediment delivery ratio based on physical principles. In Pahl-Wostl, C., Schmidt, S., Rizzoli, A.E., Jakeman, A.J., (eds) Complexity and Integrated Resources Management, vol 3. Trans. Second Bienn. Meeti. Internat. Environ. Model. Soft. Soci. Manno, 1117-1122.
- Lu, H., Raupach, M.R., McVicar, T.R., Barrett, D.J., 2003. Decomposition of vegetation cover into woody and herbaceous components using AVHRR NDVI time series. *Remote Sens. Environ.* 86(1), 1-18.
- Maner, S.B., 1958. Factors affecting sediment delivery rates in the Red Hills physiographic area. *Eos, Trans. Ameri. Geophys. Union* 39(4), 669-675.
- Moore, I.D., Burch, G.J., 1986. Modeling erosion and deposition. *Topographic Effects. Trans. Americ. Soci. Agricul. Enginee.* 29, 1624-1630.
- Mutchler, A., Bowie, J., 1975. National engineering hand book, Section 3, Sedimentation.
- Mutua, B., Klik, A., 2004. Development of a physically based model for estimation of spatial sediment delivery ratio for large remote catchments. *J. Spatial Hydrol.* 5(1), 1-15.
- Nasri, M., Najafi, A., 2015. Determining mathematical relationship between sediment delivery ratio and Watershed Factors'. *Nat. Ecosys. Iran* 6(2), 1-12 (in Persian).
- Park, Y.S., Kim, J., Kim, N.W., Kim, S.J., Jeon, J.H., Engel, B.A.E., Jang, W., Lim, K.J., 2010. Development of new R, C and SDR modules for the SATEEC GIS system. *Comput. Geoscie.* 36(6), 726-734.
- Pimentel, D., Harvey, C., Resosudarmo, P., Sinclair, K., Kurz, D., McNair, M., Crist, S., Shpritz, L., Fitton, L., Saffouri, R., Blair, R., 1995. Environmental and economic costs of soil erosion and conservation benefits. *Science*, 267(5201), 1117-1123.
- Porto, P., Walling, D.E., 2012. Validating the use of ^{137}Cs and $^{210}\text{Pbex}$ measurements to estimate rates of soil loss from cultivated land in southern Italy. *Environ. Radioacti.* 106, 47-57.
- Rahman, M.R., Shi, Z.H., Chongfa, C., 2009. Soil erosion hazard evaluation—an integrated use of remote sensing, GIS and statistical approaches with biophysical parameters towards management strategies. *Ecologi, Modell.* 220(13), 1724-1734.
- Ramos-Scharron, C.E., MacDonald, L.H., 2007. Development and application of a GIS-based sediment budget model. *J. Environ. Manage.* 84, 157-172.
- Razali, N.M., Wah, Y.B., 2011. Power comparisons of Shapiro-Wilk, Kolmogorov Smirnov, Lilliefors and Anderson-Darling tests. *J. Statisti. Model. Analyt.* 2, 21-33.
- Renfro, G.W., 1975. User of erosion equation and sediment delivery ratio for predicting sediment yield. In present and prospective technology for predicting sediment yield and sources. *Agricul. Resour. Servic. ARS*, 33-45.
- Renfro, R., Waldo, P., 1983. Validations of sediment delivery ratio prediction techniques. Fort Worth TX: US Soil Conservation Service, Southern Reg. Tech. Ctr., 95 pages.
- Roehl, J.W., 1962. Sediment source areas, delivery ratios and influencing morphological factors. *Inter. Associa. Sci. Hydrol. Commis. Land Erosion.*

- Sadeghi, H.R., Gholami, L., Khaledi Darvishan, A., 2008. Comparison of sediment delivery ratio estimation methods in Chehelgazi Watershed of Gheshlagh Dam. Water Soil. 22(1), 141-150 (in Persian).
- Sánchez, Y., Martínez-Graña, A., Santos-Francés, F., Yenes, M., 2018. Influence of the sediment delivery ratio index on the analysis of silting and break risk in the Plasencia reservoir, central system, Spain. Nat. Hazard. 91(3), 1407-1421.
- Sedighi, F., Khaledi Darvishan, A., Zare, M., 2020. Assessment of the slope gradient on the estimated erosion and sediment delivery ratio by using ^{137}Cs in the Khamsan Representative Watershed. Watershed Manage. Res. J. 33(3), 2-19 (in Persian).
- Sedighi, F., Khaledi Darvishan, A., Golosov, V., Zare, M.R., Spalevic, V., 2022. Influence of land use on changes of sediment budget components: western Iran case study. Turkish J. Agricul. Forest. 46(6), 838-851.
- Sedighi, F., Khaledi Darvishan, A., Zare, M.R., 2021. Effect of watershed geomorphological characteristics on sediment redistribution. Geomorphol. 375, 107559.
- Shahoei, S., Abdoumalki, P., Najmedin, N., Shahoei, S., Tomarian, N., 1992. The relationship between erosion rate and factors during event. 3th Soil Sci. Conference Tehran, 41-56 (in Persian).
- Semgalawe, Z.M., Folmer, H., 2000. Household adoption behaviour of improved soil conservation: the case of the North Pare and West Usambara Mountains of Tanzania. Land Use Policy 17, 321-336.
- Tenge, A.J., Okoba, B.O., Sterk, G., 2007. Participatory soil and water conservation planning using a financial analysis tool in the West Usambara highlands of Tanzania. Land Degrad. Develop. 18(3), 321-337.
- USDA-SCS., 1979. Sediment sources, yields, and delivery ratios. National Engineering Handbook, Section 3, Sedimentation.
- USDA-SCS., 1981. Soil conservation service engineering handbook, Section 3, Sedimentation.
- Vanoni, V.A., 1975. Sedimentation engineering. Manuals and Reports on Engineering Practice No. 54. American Society of Civil Engineers, New York.
- Vigiak, O., Borselli, L., Newham, L.T.H., McInnes, J., Roberts, A.M., 2012. Comparison of conceptual landscape metrics of define hillslope-scale sediment delivery ratio. Geomorphol. 138(1), 74-88.
- Walling, D.E., 1983. The sediment delivery problem. J. Hydrol. 65(1-3), 209-237.
- Wilkinson, B.H., McElroy, B.J., 2007. The impact of humans on continental erosion and sedimentation. Geo. Soci. America Bull. 119(1-2), 140-156.
- Williams, J.R., Brendt, A.D., 1972. Sediment yield computed with the universal equation. American Soci. Civil Engineer. 98(HY12), 2087-2098.
- Williams, J.R., Berndt, H.D., 1977. Sediment yield prediction based on watershed hydrology. Trans. ASAE, 20(6), 1100-1104.
- Wu, L., Yao, W., Ma, X., 2018. Using the comprehensive governance degree to calibrate a piecewise sediment delivery ratio algorithm for dynamic sediment predictions: a case study in an ecological restoration watershed of northwest China. J. Hydrol. 564, 888-899.